

→ Hamilton-Operator:

$$\begin{aligned}
 H &= \int d^3x \psi^\dagger(\vec{x}) \hat{H}_D \psi(\vec{x}) \\
 &= \int d^3x \int \frac{d^3p}{(2\pi)^3} \int \frac{d^3q}{(2\pi)^3} \frac{1}{2\sqrt{E_p E_q}} \sum_{rs} (a_{\vec{q}}^r{}^\dagger u^r(\vec{q}) + b_{-\vec{q}}^r v^r(-\vec{q})) e^{-i\vec{q}\cdot\vec{x}} \\
 &\quad \hat{H}_D (a_{\vec{p}}^s u^s(\vec{p}) + b_{-\vec{p}}^s v^s(-\vec{p})) e^{i\vec{p}\cdot\vec{x}} \\
 &= \int \frac{d^3p}{(2\pi)^3} \frac{1}{2} \sum_{rs} \left\{ \underbrace{a_{\vec{p}}^r{}^\dagger a_{\vec{p}}^s}_{2E_p \delta_{rs}} u^r(\vec{p}) u^s(\vec{p}) - a_{\vec{p}}^r{}^\dagger \underbrace{b_{-\vec{p}}^s}_{-E_p} v^s(-\vec{p})}_{=0} \right. \\
 &\quad \left. + b_{-\vec{p}}^r \underbrace{a_{\vec{p}}^s}_{=0} v^r(-\vec{p}) u^s(\vec{p}) - b_{-\vec{p}}^r \underbrace{b_{-\vec{p}}^s}_{2E_p \delta_{rs}} v^s(-\vec{p}) \right\} \\
 &= \int \frac{d^3p}{(2\pi)^3} \sum_s E_p (a_{\vec{p}}^s{}^\dagger a_{\vec{p}}^s - b_{\vec{p}}^s b_{\vec{p}}^s{}^\dagger)
 \end{aligned}$$

Fall 1: Kommutator

$$z, b_{\vec{p}}^s b_{\vec{p}}^s{}^\dagger = b_{\vec{p}}^s{}^\dagger b_{\vec{p}}^s + \underbrace{[b_{\vec{p}}^s, b_{\vec{p}}^s{}^\dagger]}_{-(2\pi)^3 \delta^3(\vec{0})}$$

$$\Rightarrow H = \int \frac{d^3p}{(2\pi)^3} \sum_s E_p (a_{\vec{p}}^s{}^\dagger a_{\vec{p}}^s - b_{\vec{p}}^s{}^\dagger b_{\vec{p}}^s + (2\pi)^3 \delta^3(\vec{0}))$$

↑ nicht messbare Vakuumenergie ✓  
 je mehr "b-Teilchen",  
 desto niedriger die Energie  
 ⇒ Spektrum nicht nach unten beschränkt



Fall 2: Antikommutator

$$\hookrightarrow b_{\vec{p}}^s b_{\vec{p}}^{s\dagger} = -b_{\vec{p}}^{s\dagger} b_{\vec{p}}^s + \underbrace{\{b_{\vec{p}}^s, b_{\vec{p}}^{s\dagger}\}}_{(2\pi)^3 \delta^3(\vec{0})}$$

$$\Rightarrow H = \int \frac{d^3p}{(2\pi)^3} \sum_s E_p (a_{\vec{p}}^{s\dagger} a_{\vec{p}}^s + b_{\vec{p}}^{s\dagger} b_{\vec{p}}^s - (2\pi)^3 \delta^3(\vec{0}))$$

funktioniert!

→ Quantisierungsvorschrift für Dirac-Felder:

$$\{\psi_a(\vec{x}), \psi_b^\dagger(\vec{y})\} = \delta^3(\vec{x}-\vec{y}) \delta_{ab}$$

$$\{\psi_a(\vec{x}), \psi_b(\vec{y})\} = \{\psi_a^\dagger(\vec{x}), \psi_b^\dagger(\vec{y})\} = 0$$

$$\{a_{\vec{p}}^r, a_{\vec{q}}^{s\dagger}\} = \{b_{\vec{p}}^r, b_{\vec{q}}^{s\dagger}\} = (2\pi)^3 \delta^3(\vec{p}-\vec{q}) \delta_{rs}$$

$$\{a_{\vec{p}}^r, a_{\vec{q}}^s\} = (\text{alle anderen}) = 0$$

Heisenberg-Bild:

wie Klein-Gordon:

$$e^{iHt} a_{\vec{p}}^s e^{-iHt} = a_{\vec{p}}^s e^{-iE_p t}$$

$$e^{iHt} b_{\vec{p}}^s e^{-iHt} = b_{\vec{p}}^s e^{-iE_p t}$$

$$\hookrightarrow \psi(x) = \int \frac{d^3p}{(2\pi)^3} \frac{1}{\sqrt{2E_p}} \sum_s (a_{\vec{p}}^s u^s(\vec{p}) e^{-ip \cdot x} + b_{\vec{p}}^{s\dagger} v^s(\vec{p}) e^{ip \cdot x})$$

$$\bar{\psi}(x) = \int \frac{d^3p}{(2\pi)^3} \frac{1}{\sqrt{2E_p}} \sum_s (b_{\vec{p}}^s \bar{v}^s(\vec{p}) e^{-ip \cdot x} + a_{\vec{p}}^{s\dagger} \bar{u}^s(\vec{p}) e^{ip \cdot x})$$

$$H = \int \frac{d^3 p}{(2\pi)^3} \sum_s E_p (a_{\vec{p}}^{s\dagger} a_{\vec{p}}^s + b_{\vec{p}}^{s\dagger} b_{\vec{p}}^s) \quad (\text{ohne Vak.-Energie})$$

$$\vec{P} = \int d^3 x \psi^\dagger (-i \vec{\nabla}) \psi = \int \frac{d^3 p}{(2\pi)^3} \sum_s \vec{p} (a_{\vec{p}}^{s\dagger} a_{\vec{p}}^s + b_{\vec{p}}^{s\dagger} b_{\vec{p}}^s)$$

$\Rightarrow a_{\vec{p}}^{s\dagger}, b_{\vec{p}}^{s\dagger}$  erzeugen Teilchen mit Energie  $E_p$  und Impuls  $\vec{p}$ .

Ein-Teilchen-Zustände:

$$|\vec{p}, s\rangle \equiv |\vec{p}, s\rangle_a = \sqrt{2E_p} a_{\vec{p}}^{s\dagger} |0\rangle, \quad |\vec{p}, s\rangle_b = \sqrt{2E_p} b_{\vec{p}}^{s\dagger} |0\rangle$$

$$\Rightarrow \langle \vec{p}, r | \vec{q}, s \rangle_d = 2E_p (2\pi)^3 \delta^3(\vec{p} - \vec{q}) \delta_{rs} \delta_{cd}$$

Mehr-Teilchen-Zustände:

$$a_{\vec{p}}^{s\dagger} a_{\vec{q}}^{s\dagger} |0\rangle = -a_{\vec{q}}^{s\dagger} a_{\vec{p}}^{s\dagger} |0\rangle \quad \text{etc.} \Rightarrow \text{antisymmetrisch}$$

$\Rightarrow$  Dwaac-Teilchen gehorchen der Fermi-Dwaac-Statistik!

$$\text{insbesondere: } a_{\vec{p}}^{s\dagger} a_{\vec{p}}^{s\dagger} |0\rangle = 0 \quad (\text{Pauli-Prinzip})$$

Ladung:

$$\mathcal{L} = \bar{\psi} (i \not{\partial} - m) \psi \quad \text{invariant unter } \psi(x) \rightarrow e^{i\alpha} \psi(x)$$

$$\hookrightarrow \text{erhaltener Strom: } j^\mu(x) = \bar{\psi}(x) \gamma^\mu \psi(x)$$

$$\partial_\mu j^\mu = (\partial_\mu \bar{\psi}) \gamma^\mu \psi + \bar{\psi} \gamma^\mu \partial_\mu \psi = im \bar{\psi} \psi - im \bar{\psi} \psi = 0 \quad \checkmark$$

$$\hookrightarrow \text{erhaltene Ladung: } Q = \int d^3 x j^0 = \int d^3 x \psi^\dagger \psi$$

$$\hookrightarrow Q = \int \frac{d^3 p}{(2\pi)^3} \sum_s (a_{\vec{p}}^{s\dagger} a_{\vec{p}}^s - b_{\vec{p}}^{s\dagger} b_{\vec{p}}^s) \quad (\text{+ unevoll. Vakuumbeitrag})$$

=>  $a^\dagger$  und  $b^\dagger$  erzeugen Teilchen mit entgegengesetzter Ladung: Teilchen und Antiteilchen!

Spin:

Lorentz-Transf. (insbesondere Drehungen):

$$\psi(x) \rightarrow \psi'(x) = \Lambda_{1/2} \psi(\Lambda^{-1}x)$$

$$\Rightarrow \delta\psi(x) = \psi'(x) - \psi(x) = \dots$$

z.B. inf. Drehung um die z-Achse:

$$2) \delta\psi(x) = \theta \Delta\psi(x) = -\theta \left( \underbrace{x\partial_y - y\partial_x}_{\text{von } \Lambda^{-1}x} + \underbrace{\frac{i}{2}\Sigma^3}_{\text{von } \Lambda_{1/2}} \right) \psi(x)$$

$$\text{mit } \Sigma^3 = \sigma^{12} = \begin{pmatrix} \sigma^3 & 0 \\ 0 & \sigma^3 \end{pmatrix}$$

2) erhaltene „Ladungen“:

$$\vec{J} = \int d^3x \psi^\dagger \left( \underbrace{\vec{x} \times (-i\vec{\nabla})}_{\text{Bahndrehimpuls}} + \underbrace{\frac{1}{2}\vec{\Sigma}}_{\text{Spin}} \right) \psi$$

Man kann zeigen:

$J_z a_0^{s\dagger}  0\rangle = \begin{cases} +\frac{1}{2} a_0^{s\dagger}  0\rangle \\ -\frac{1}{2} a_0^{s\dagger}  0\rangle \end{cases}$	für	$\xi^s = \begin{pmatrix} 1 \\ 0 \end{pmatrix}$
	"	$\xi^v = \begin{pmatrix} 0 \\ 1 \end{pmatrix}$
$J_z b_0^{s\dagger}  0\rangle = \begin{cases} -\frac{1}{2} b_0^{s\dagger}  0\rangle \\ +\frac{1}{2} b_0^{s\dagger}  0\rangle \end{cases}$	"	$\eta^s = \begin{pmatrix} 1 \\ 0 \end{pmatrix}$
	"	$\eta^v = \begin{pmatrix} 0 \\ 1 \end{pmatrix}$

→ Spin  $-\frac{1}{2}$ -Teilchen!

### III.6 Der Dirac-Propagator

Ausbreitungsamplituden:

$$\begin{aligned}
 \langle 0 | \psi_a(x) \bar{\psi}_b(y) | 0 \rangle &= \int \frac{d^3 p}{(2\pi)^3} \frac{1}{2E_p} \sum_s u_a^s(\vec{p}) \bar{u}_b^s(\vec{p}) e^{-i p \cdot (x-y)} \\
 &= \int \frac{d^3 p}{(2\pi)^3} \frac{1}{2E_p} (\not{p} + m)_{ab} e^{-i p \cdot (x-y)} \\
 &= (i \not{\partial}_x + m)_{ab} \int \frac{d^3 p}{(2\pi)^3} \frac{1}{2E_p} e^{-i p \cdot (x-y)} \\
 &= (i \not{\partial}_x + m)_{ab} \mathbb{D}(x-y)
 \end{aligned}$$

↑ Klein-Gordon-Amplitude

analog:

$$\langle 0 | \bar{\psi}_b(y) \psi_a(x) | 0 \rangle = -(i \not{\partial}_x + m)_{ab} \mathbb{D}(y-x)$$

→ retardierter Propagator:

$$\begin{aligned}
 S_R^{ab}(x-y) &:= \Theta(x^0 - y^0) \langle 0 | \{ \psi_a(x), \bar{\psi}_b(y) \} | 0 \rangle \\
 &= (i \not{\partial}_x + m)_{ab} \mathbb{D}_R(x-y)
 \end{aligned}$$

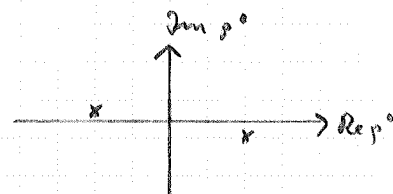
Feynman-Propagator:

(→ Übung)

$$S_F(x-y) = \langle 0 | T \psi(x) \bar{\psi}(y) | 0 \rangle$$

$$= \begin{cases} \langle 0 | \psi(x) \bar{\psi}(y) | 0 \rangle & \text{falls } x^0 > y^0 \\ - \langle 0 | \bar{\psi}(y) \psi(x) | 0 \rangle & \text{" } y^0 > x^0 \end{cases}$$

$$= \int \frac{d^4 p}{(2\pi)^4} \frac{i(\not{p} + m)}{p^2 - m^2 + i\epsilon} e^{-i p \cdot (x-y)}$$



- Minuszeichen beim zeitgeordneten Produkt für Fermionen!
- $\langle 0 | \psi(x) \bar{\psi}(y) | 0 \rangle \leftrightarrow$  Propagation von Teilchen  
 $\langle 0 | \bar{\psi}(y) \psi(x) | 0 \rangle \leftrightarrow$  " " Antiteilchen
- Def. avancierter Propagator  $S_A$  analog
- $S_F$ ,  $S_R$  und  $S_A$  sind Green'sche Funktionen zum Dirac-Operator, z. B.

$$(i \not{\partial}_x - m) S_F(x-y) = i \delta^4(x-y) \mathbb{1}_{4 \times 4} \quad (-) \text{ Übung}$$

### III. 7 Diskrete Symmetrien

Symmetrietransformationen hängen allgemein mit unitären Transformationen von Zuständen zusammen:

$$|\phi\rangle \rightarrow |\phi'\rangle = U |\phi\rangle, \quad U^\dagger U = \mathbb{1}$$

$$\Rightarrow \langle \phi' | \phi' \rangle = \langle \phi | U^\dagger U | \phi \rangle = \langle \phi | \phi \rangle$$

$\leadsto$  Erwartungswerte von Operatoren.

$$\langle \phi | \hat{A} | \phi \rangle \rightarrow \langle \phi' | \hat{A} | \phi' \rangle = \langle \phi | U^\dagger \hat{A} U | \phi \rangle \equiv \langle \phi | \hat{A}' | \phi \rangle$$

$\leadsto$  Alternativ kann man das Transformationsverhalten der Operatoren betrachten:

$$A \rightarrow A' = U^\dagger A U$$